



F.1.- Vertiente izquierda del Manzanares, próxima al Puente del Congosto. Farallones de Yesos masivos, unidad 1 del Mioceno.



F.10.- Alternancia de bancos finos de yeso y arcillas (unidad 2 del Mioceno). Afloramiento próximo al Arroyo de la Gavia.



F.11.- Arcillas verdes con intercalaciones de niveles finos de yesos que desaparecen paulatinamente a techo. Unidad 3 del Mioceno. Afloramiento próximo a Cerámica del Río.



F.12.- Arcillas verdes y rojizas ("gredas") con algunos nódulos de yeso. Unidad 3 del Mioceno. Canteras de La Celsa.



F.13.- Contacto entre las unidades 3 (Arcillas rojizas y verdosas con yeso) y 6 (limos arcillosos pardos superiores) en las canteras de La Celsa. Depósitos de la unidad 6 con base suavemente erosiva.



F.14.- Panorámica desde Cerro Negro hacia el sur. En primertérmino garages de la E.M.T. (Cerámica del Río) con arcillas de la unidad 3. Al fondo Mercamadrid y entre ambos puntos las canteras de La Celsa con el contacto entre las unidades 3 y 6 del Mioceno.



F.15.- Sondeo del Polideportivo de San Blas (S.G.O.P.-2)
Contacto entre la unidad 6 de Arcillas verdes y arenas
biotífticas y la unidad 2 de Yesos tableados con arcillas.
Profundidad, 96 m.



F.16.- Lutitas grises laminadas alternando con niveles finos de carbonatos (dolomita-magnesita). Unidad 3 del Mioceno. Sondeo S.G.O.P.-1, Avda de Portugal. Profundidad, 220 m.



F.17.- Frente de Cerro Mirones. Unidad de Carbonatos tableados y Arcillas (5).



F.18.- Unidad de Carbonatos tableados y Arcillas (5), Cerro Mirones. Conjunto inferior de Dolomicritas finas y arcillas. Conjunto superior (a partir de nivel carbonático blanco bioturbado) de niveles de arcillas verdes y carbonatos.



F.19.- Nivel de carbonatos (dolomictitas) con calcita seudomorfica de yesos lenticulares gruesos. Cerro Mirones, parte superior. Unidad 5 del Miocene.



F.2.- Canteras de Valdemingómez, junto a Camino de Eulogio. Contacto entre unidad de Yesos masivos (1) y unidad de Yesos tableados y Arcillas (2).



F.20.- Vista de Cerro Negro desde Villaverde Bajo. Unidad de Arcillas verdes con carbonatos (6).



F.21.- Pliegues de la unidad de Arcillas verdes con carbonatos (6) como resultado del colapsamiento de yesos infrayacentes. Contacto de las unidades 3 y 6 del Mioceno en Mercamadrid.



F.22.- Unidad de Arcillas verdes con carbonatos (6). en Mercamadrid. Términos verdes basales : arcillas y arenas biotíticas. Términos de tonos rosados-pardos: arcillas esmectíticas, carbonatos y silex.



F.23.- Nivel de paleosuelo calcimorfo en Cerro Negro (unidad 6 del Mioceno). Perfil con lutitas verdes basales en paso gradual a arcillas rosadas (es-mectitas desordenadas) y carbonatos con pedotúbulos y estrcuctura prismática.



F. 24.- Lutitas laminadas verdosas oscuras con carbonatos en niveles finos y pequeñas eflorescencias salinas. Unidad 6 del Mioceno.



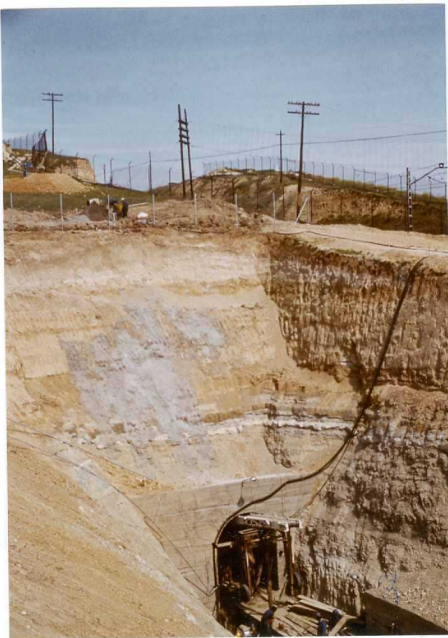
F.25.- Arcillas verdes bioturbadas, con deformaciones hidroplásticas. Unidad 6 del Mioceno. Sondeo del Polideportivo de San Blas (S.G.O.P. -2). Profundidad, 75 m.



F. 26.- Arenas micáceas (biotíticas) con laminación cruzada de surco. Fuerte bioturbación por gusanos. Base del Cerro de la Mesa. Unidad 6 del Mioceno.



F.27.- Unidad de arcillas verdes con carbonatos y arenas micáceas (6). Colector del P.S.I. en la base del Cerro de La Mesa. Recubrimiento por coluviones arcósicos cuaternarios.



F.28.- Colector del P.S.I. junto a Ciudad Pegaso. Contacto entre la unidad de arcillas verdes con carbonatos (6) y Arcosas (9) con niveles de sepiolita. Nivel con micro-mamíferos (yacimiento de O'Donnell) por encima de bancos carbonáticos.



F.29.- Niveles de silex y carbonatos entre arcillas verdes y rosadas. Unidad 6 del Mioceno. Zanja próxima a la carretera de Vicálvaro-Mejorada.



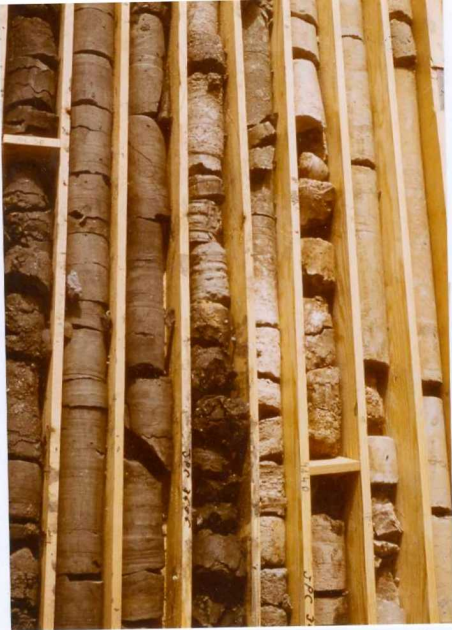
F.3.- Area de Valdemingomez. Panorámica desde la planta de residuos sólidos. Canteras en Yesos masivos (1) y Yesos tableados con Arcillas (2). La parte superior corresponde a la unidad de Carbonatos tableados y Arcillas (5).



F.30.- Panorámica hacia el norte desde el Cerro de la Fraternidad. En primer término la zona alomada corresponde a niveles de la Unidad de arcillas verdes con carbonatos (6). Al fondo el Cerro de Almodovar, con arcosas y sílex a techo.



F.31.- Parte sur del Cerro de Almodovar. En primer plano arcillas verdosas carbonatadas con intercalaciones de arenas cuarzo-feldespáticas en el tránsito entre las unidades 6 y 9 del Mioceno.



F.32.- Sondeo del Polideportivo de San Blas (S.G.O.P.-2). Tránsito en profundidad (40m.) de arcosas con sepiolita (unidad 9) a arcillas verdes y arenas micáceas (unidad 6).



F.33.- Cantera de sepiolita junto a la Estación Clasificadora de Vicálvaro. Niveles de sepiolita con arcos a techo recubiertas por arenas arcósicas cuaternarias.



F.34.- Cantera de sepiolita junto al Caserío de Ambroz. Niveles de sepiolita en paso vertical a arcosas (unidad 9 del Mioceno).



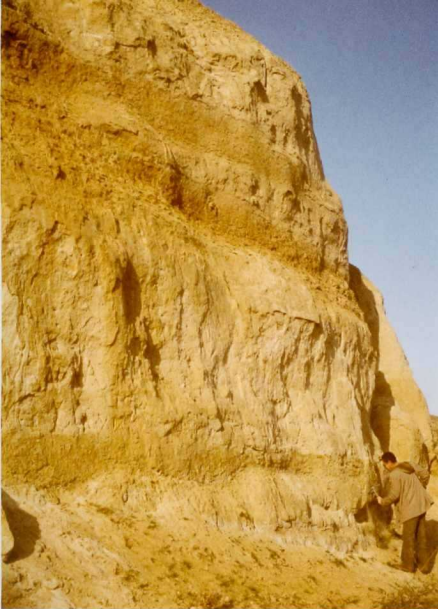
F.35.- Arcosas finas y limos con costras carbonático-siliceas.
Sección de Vía Carpetana. Unidad 8 del Mioceno.



F.36.- Cantera abandonada de sepiolita en la parte NE del Cerro de Almodovar. Nivel de sepiolita a la izquierda del afloramiento; sobre él secuencias de arcosas y arcillas (unidad 9 del Mioceno).



F.37.- Perfil de arcosas en la cantera de sepiolita del Cerro de Almodovar. Secuencias granodecrescentes de arcosas arcillosas y arcillas con rasgos edáficos poco evolucionados.



F.38.- Sección de arcosas junto a la Estación de O'Donnell. Unidad 9 del Mioceno. Secuencias granodecrescentes arcosas-arcillas, ésta últimas con estructuras y tonalidades propias de procesos edáficos de hidromorfismo.



F.39.- Corte potente de arcosas en los terrenos de la Cooperativa Hogar del Taxista (parque Diego Machado, Vallecas). Unidad 9 del Mioceno.



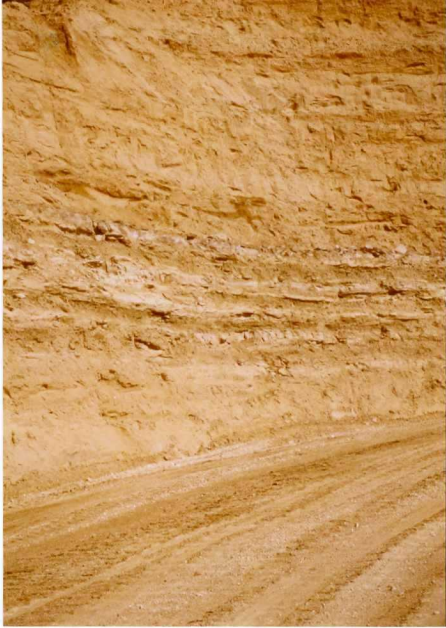
F.4.- Area de Cumbres de Vallecas, Cerro de la Fraternidad. Parte inferior de la sección : unidad de Yesos y Arcillas (2). Parte superior : unidad de Carbonatos tableados y Arcillas (5). Esta unidad aparece amoldada a depresiones en los yesos infrayacentes.



F.40.- Cantera de sepiolita junto a Cortijo Farnesio (Canillejas-San Blas). Niveles de sepiolita cubiertos en la fotografía. La sucesión arcósica culmina con varios niveles de silex tableados. Unidad 9 del Mioceno.



F.41.- Contacto entre la unidad de Arcosas y Arcillas (9) y Arcosas gruesas (12) en cantera de sepiolita próxima al Caserío de Ambroz.



F.42.- Contacto entre la unidad de Arcosas y Ar-
cillas (9) con niveles de silex (11) a techo y la unidad
de Arcosas gruesas (12). Cantera de sepiolita junto a
Cortijo Farnesio.



F.43.- Contacto entre las unidades 9 y 12 del Mioceno junto a la Estación del Metro de las Musas.



F.44.- Vista desde la carretera N-III del Cerro de Almodovar. Superficie morfológica definida por niveles de silex (13) a techo de la unidad de Arcosas gruesas (12) en facies distales.



F.45.- Silicificación en nódulos entre esmectitas y sepiolitas con carbonatos. Parte superior del Cerro de Almodovar.



F.46.- Sección de arcosas (unidad 9 del Mioceno) junto al Barrio de La Fríscola.



F.47.- Proximidades de la Estación de Pitis. Contacto entre las unidades 9 (Arcosas y Arcillas) y 12 (Arcosas gruesas) del Mioceno. El contacto viene remarcado por el desarrollo de vegetación de juncos.



F.48.- Arcosas con cantos graníticos y cuarzosos (unidad 12 del Mioceno). Barrio del Pilar, junto a Canal Isabel II.



F.49.- Vista general de la parte meridional de la sección de Paracuellos de Jarama desde el Cerro de la Herradura (San Fernando de Henares). Fondo del valle ocupado por sistema de terrazas. En los farallones inmediatos, arcillas verdes y carbonatos de la Unidad 3 cubiertas por arcosas y arcillas pardas con carbonatos de la Unidad 4. Al fondo, arcosas gruesas (Unidad 11) cubiertas por depósitos de terraza.



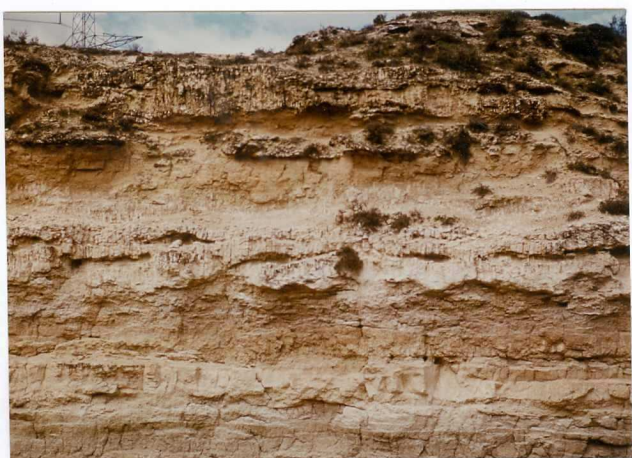
F.5.- Vista de la vertiente izquierda del Manzanares desde los areneros de la Casa de Los Frailes. Farallones inferiores de Yesos masivos (unidad 1 del Mioceno) y Yesos tableados con Arcillas (2). Al fondo el Cerro Mirones, con carbonatos y arcillas de la unidad 5.



F.50.- Niveles de arcillas verdosas con algunas intercalaciones carbonatadas (dolomías). Unidad 3 del Mioceno, en la parte más meridional de la sección de Paracuellos de Jarama.



F.51.- En primer término, sucesión de arcillas arenosas pardas con desarrollo de calcretas (Unidad 4 del Mioceno). Sobre ellas, al fondo, arcosas gruesas de la Unidad 11. Fotografía tomada desde la Urbanización de los Berrocales (Sur de Paracuellos) hacia el Norte.



F.52.- Desarrollo de niveles de calcreta, en parte sobreimpuestos, en las proximidades del Cerro de la Presa (sección de Paracuellos de Jarama). Unidad 7 del Mioceno.



F.53.- Vista general del Cerro de los Guardias (sur de Paracuellos de Jarama). Sucesión constituida por arcosas gruesas y arcillas (Unidad 11 del Mioceno). El nivel con cambio de tonalidad marca la posición del yacimiento de vertebrados Paracuellos-3. La sucesión arcósica está cubierta por depósitos de terraza correspondientes al río Jarama (Unidad 14 de Cuaternario).



F.54.- Sucesión de arcosas gruesas y arcillas (Unidad 11 del Mioceno) junto a la Escuela de Formación Profesional (sur de Paracuellos de Jarama).



F.55.- Afloramiento de yesos detriticos alternantes con lechos de arcillas y carbonatos (dolomias) al oeste del Cerro del Telégrafo. Unidad 8 del Miocene.



F. 56.- Afloramiento con capas discontinuas de yeso selenítico entre arcillas verdosas y yesos detriticos. Unidad 8 del Mioceno. Afloramiento situado al oeste del Cerro del Telégrafo.



F.57.- Sucesión correspondiente a la Unidad 6 del Mioceno (arcillas verdes con carbonatos) en afloamiento junto a la 2^a fase de la Cooperativa Pablo Iglesias (NW del Cerro del Telégrafo).



F.58.- Detalle de la sucesión visible en la fotografía anterior. En la base se aprecian niveles de carbonatos con forma convexa a techo ("mud-mounds"). Por encima, secuencia de exposición progresiva de arcillas verdes-arcillas rosadas y carbonatos.



F.59.- Afloramiento de la Unidad 3 (arcillas verdes con niveles finos de carbonatos dolomíticos) en las proximidades del Puente de San Fernando (carretera N-II). Parte superior cubierta por depósitos antrópicos.



F.6.- Cerro de la Fraternidad (area de Cumbres de Vallecas). Amoldamiento en "embudos" de los términos inferiores de la unidad de Carbonatos tableados y Arcillas (5) a depresiones en los yesos infrayacentes.



F.60.- Afloramiento junto a la Urbanización La Pilarica, en Coslada. Parte inferior formada por arcillas verdes (Unidad 3 del Mioceno). Parte superior, sepiolita, arcillas marrones y sílex, correspondientes a la Unidad 6 del Mioceno.



F. 61.- Zanja junto al hospital 1º de Octubre.
Arcillas verdes y rosadas con carbonatos y silex.
Unidad 3 del Mioceno en tránsito hacia facies arcosas.



F.62.- Zanja bajo la Estación Eléctrica de Men-
dez Alvaro. Arcillas verdes y carbonatos de la
Unidad 3 del Mioceno. Observese la disposición
de vertidos sobre la serie miocena.



F. 63.- Relleno kárstico cuaternario-chimenea de colapso. Desarrollado sobre Yesos y Arcillas (unidad 2) y Arcillas con carbonatos (unidad 5). Se observan distintas etapas de sedimentación reflejando alternancias de periodos fríos (gelivación) y templados (alteraciones edáficas). Cerro de La Fraternidad (area de Cumbres de Vallecas).



F.64.- La Sevillana. Depósito de derrame sobre las arcillas verdes con carbonatos (unidad 6 del Mioceno), fosilizadas como consecuencia del desnivel entre la superficie de Palomeras y las depresiones originadas por el Arroyo de La Gavia.



F.65.- Parte este de Mercamadrid. Glacis de cobertera sobre arcillas verdes con carbonatos afectado por un suelo pardo fersialítico en el que destaca por su desarrollo el horizonte argílico (Bt) y los horizontes de acumulación carbonática (Bca y Cca).



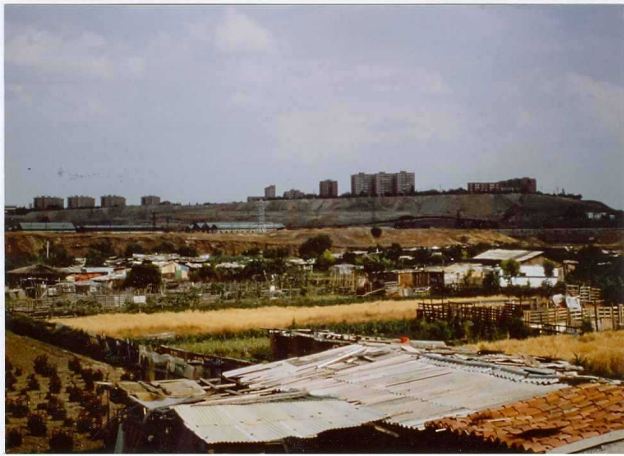
F.66.- Zona con amplio desarrollo de vertidos antrópicos, fundamentalmente de arcillas verdes, en el Nudo sur de la M-30.



F.67.- Karst cuaternario desarrollado sobre Yesos masivos (Unidad 1 del Mioceno). En la base del relleno aparece la industria Achelense que cabe situar hacia el Pleistoceno medio.



F.68.- Suelos acumulativos desarrollados sobre los depósitos de relleno del Karst en Casas de Tilli, bordeando los fondos endorreicos en la depresión de Vicálvaro.



F. 69 - Llanura aluvial (38) del río Manzanares en las proximidades del barrio de San Fermín. En primer término huertas, en el plano medio vertidos, al fondo la meseta de Cerro Negro.



F.7.- Niveles de yeso alabastrino en empalizada y nódulos de yeso alternando con arcillas. Sección del Cerro de la Fraternidad (área de Cumbres de Vallecas), unidad 2 del Mioceno.



F. 70. - Talud de vertidos estratificados erosionado por el río Manzanares al este del barrio de San Fermín.



F. 71 Depósitos arenosos de glacis de cobertura (19) afectados por la evolución de un suelo pardo calizo. Colonia Lucentum.



F. 72 Paleocanal detritico erosivo de glacis de cobertura (19) sobre materiales arcósicos afectados por una carbonatación secundaria preexistente. Posición al norte de la fotografía anterior.



F.73.- Terraza preservada de la carretera de Andalucía (Km.7), a + 28/30 m. Arenas medias a gruesas con estratificación cruzada planar y festoneada de bajo ángulo.



F.74.- Términos arenosos y arcillo-areno-limosos, correspondientes a facies de llanura de inundación del río Manzanares en el Pardo.



F.75.- Zona ajardinada en Villaverde Bajo, sobre el Fondo aluvial de río Butarque.



F.76.- Vista general de los depósitos de relleno de canal, preferentemente arenosos, de la terraza de +28-30m., de Villaverde Bajo, en el corte del Ferrocarril.



F.77.- Terraza de Transfesa a +28-30m. Barras de gravas poligénicas basales de fondo de canal y arenas medias a gruesas con estratificación cruzada y festoneada de bajo ángulo.



F.78.- Afloramientos de la terraza de +40m., arenosos, en la margen derecha del Arroyo Meiques, en el Lago de la Casa de Campo.



F.79.- Terraza (1) del río Jarama de la Estación de radar de Paracuellos a unos 140m. sobre el cauce actual. Sobre ella se desarrolla un suelo rojo.



F.8.- Porfiroblastos fibroso-radiados en nivel alabastrino de yeso. Sección del Camino de Eulogio (area de Valdemingomez), unidad de yesos tabladados y arcillas (2).



F.80.- Terraza del río Jarama (16), a unos 60m. sobre el cauce actual. Sobre ella se desarrolla un suelo rojo. Carretera circundante al Aeropuerto de Barajas.



F.9.- Niveles finos de yeso alabastrino nodular alternando con arcillas. Sondeo del Polideportivo de San Blas (S.G.O.P.-2). Unidad de Yesos tableados y Arcillas (2).